

ПРОВ 2010

ПРОВ 98

Академия наук УССР  
Редколлегия "Гидробиологического журнала"

УДК 591.524.II:593.17/262.5/

2150-886

28.03.86

С.Б.Гулин, И.Г.Поликарпов, М.Б.Гулин

Общая характеристика интерстициальной экологической системы верхней сублиторали Карадагского госзаповедника  
(Черное море)

Институт биологии  
южных морей АН УССР

БИБЛИОТЕКА

№ 71 деп

Киев - 1986

В настоящее время заметно возраст интерес экологов к интерстициальном биотопу, т.е. биотопу капилляров мягких донных осадков, играющему вместе с населяющим его сообществом заметную роль в круговороте вещества и балансе энергии в водоемах / 3, 4, I4, I6, I7 /. Кроме того, выяснено, что интерстициаль также принимает участие в циркуляции веществ антропогенного происхождения / 9 /. Далее, интерстициальные системы, как показали Т.Фенхель / I4 / и И.В.Бурковский / 3 /, являются удобной моделью для решения многих общеэкологических проблем. В частности, толща песка с выраженной окислительно-восстановительной стратификацией адекватна по своей физико-химической и бактериальной структуре пелагиали меромиктического водоема, такого, например, как Черное море / I4 /. Очевидно, что малые масштабы интерстициальных систем, нередкое доминирование в составе их консументов инфузорий, отличающихся относительно простой (для анализа) и интенсивной репродукцией и представляющих все основные трофические группировки гидробионтов, позволяют проводить общеэкологические исследования с наименьшими издержками.

Работы, рассматривающие интерстициаль в экосистемном аспекте, немногочисленны. М.Паматмат / I7 / обсудил вопросы газового метаболизма в песках литоральных пляжей. Т.Фенхель / I4 / показал качественную картину трофической сети и ее связь с основными физико-химическими параметрами биотопа. И.В.Бурковский / 3, 4 / рассмотрел некоторые аспекты пищевой специализации и трофической структуры сообщества морских псаммофильных инфузорий. Однако комплексных исследований, дающих общее представление о ресурсовых и продукционных особенностях данных

экологических систем, практически не проводилось. Известна только работа МакЛашлена с соавторами / 16 /. Однако в ней не приводятся данные по микрофауне песков, играющей, несомненно, ведущую роль в продукции и энергетических потоках / 3 /.

Ранее мы показали некоторые закономерности макромасштабной пространственной конфигурации сообщества псаммофильных инфузорий у мыса Фиолент (г.Севастополь) / 6 /. Данная работа является продолжением этих исследований. В ней сделана попытка анализа основных хорологических и продукционных аспектов интерстициальной экологической системы, расширен диапазон регистрированных параметров. Кроме того, здесь рассматривается проблема устойчивости интерстициали к волновой активности, которая ранее нами ставилась лишь гипотетически.

#### Материал и методика исследований

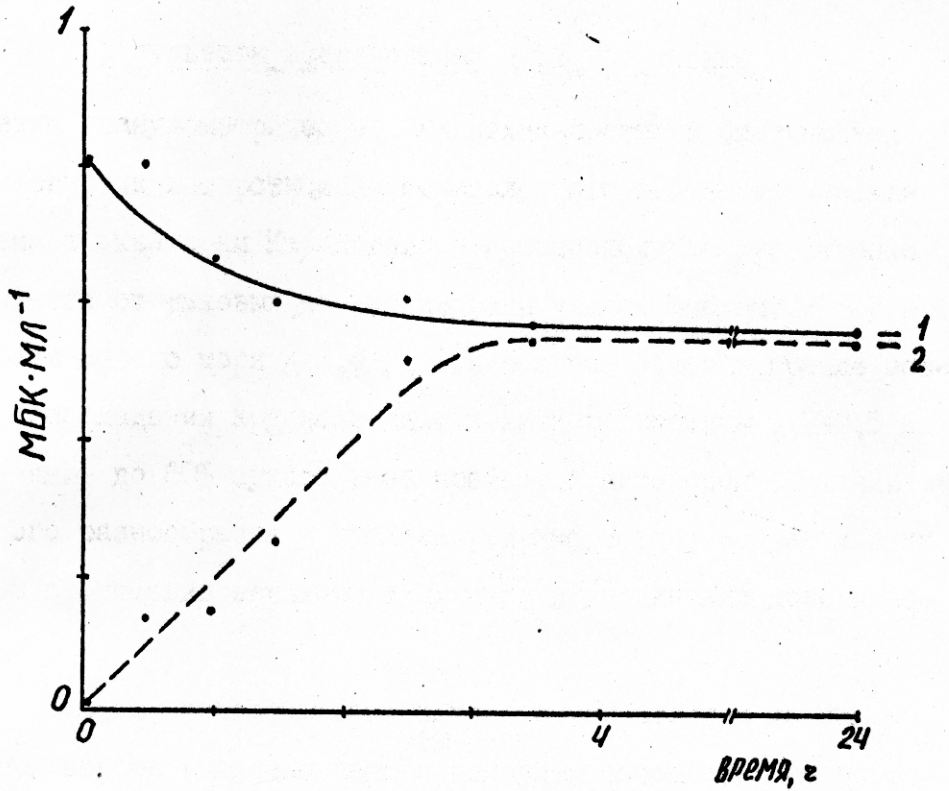
Работа проводилась в 1982-83 гг. в акватории Карадагского государственного заповедника АН УССР. На глубинах 7-9 м, средних для верхней сублиторали, были разбиты полигоны, представлявшие собой, в одних случаях, сетку с ячейками 1x1 м, покрывающую замкнутую скальными породами песчаную поляну ( $50 \text{ м}^2$ ), а в других - металлическую рамку 0,5x0,5 м с сеткой (ячейки 0,05x0,05 м). На полиграонах случайным образом отбирали пробы песка в цилиндрические пробоотборники. Гранулометрический анализ проводился по методике, описанной, например, в / 13 /. Микро- и мейофауну выделяли из песка морским льдом по методу Г.Улига / 18 /. Качество выделения контролировали под бинокуляром МБС-1. Макрофауну учитывали в фиксированных формалином пробах просеиванием через сита с ячейками 0,4 мм. Детрит отделяли флотацион-

ным способом, переносили на мембранные фильтры Millipore 0,85, промывали 10%-ной соляной кислотой для удаления карбонатов и после сушки взвешивали с точностью  $5 \cdot 10^{-5}$  г. Содержание органического углерода в детрите и диатомовых водорослях измеряли методом "мокрого сжигания" / 8 /, адаптированным для этих объектов. Биомассу микро-, макрофаги и диатомовых водорослей определяли по nomogrammам Л.Л.Численко / 12 /. Плотность бактерий оценивали методом прямого счета на мембранных фильтрах Sympore-7. Окислительно-восстановительный потенциал измеряли игольчатым платиновым электродом, используя хлорсеребряный электрод сравнения ЭВЛ-ИМЗ.

Вторичная продукция измерялась как расчетным, так и радиоуглеродным способами / 7,II /. В последнем случае использовались в качестве корма меченные по  $^{14}\text{C}$  диатомовые водоросли *Nitzschia closterium* (Ehr.) W. Sm.

Общая первичная продукция измерялась радиоуглеродным способом по методике / 15 /. Однако были сделаны поправки на 30-45 минутный латентный период, когда микрофитобентос практически не реагировал на метку (в пределах чувствительности метода, при вычете темновой фиксации). Кроме того, было учтено предсказанное Н.Васмундом / 19 / медленное проникновение изотопа в фотический слой песка. Для этого был проведен специальный эксперимент со стерильной системой "вода - песок" (рис. I).

Для разделения первичной продукции микроводорослей и фотобактерий воспользовались двумя способами. В первом случае, выделенную из песка после инкубации его с бикарбонатом -  $^{14}\text{C}$  взвесь разделяли на мембранных фильтрах Millipore 0,85, кото-



Р и с. I

Динамика концентрации бикарбоната -  $^{14}\text{C}$  в стерильной системе "вода - песок" (I - придонный 0,5-сантиметровый слой воды, 2 - капиллярная вода верхнего 0,5-сантиметрового слоя песка).

рые, по предварительным наблюдениям, задерживали всех диатомовых водорослей и в среднем 45% бактерий. Во втором случае комбинировали радиоуглеродные измерения в свежих культурах диатомей с люминисцентной микроскопией и "мокрым сжиганием".

#### Результаты исследований и их обсуждение

Изучение гранулометрических, гидрохимических и биотических характеристик интерстициали показало, что эта экологическая система в акватории Карадагского госзаповедника существенно отличается от таковых на сублиторали у мыса Фиолент / 6 / и литорали Белого моря / 3,4 /. Эти отличия состоят прежде всего в преобладании крупнозернистых песков (частицы 0,3-0,5 мм составляют до 60% сухого веса пробы); в некотором снижении видового разнообразия и численности инфузорий; в практически полном отсутствии эвритопных цилиат; в увеличении доли макрофайны.

На участке акватории заповедника от биостанции до скалы Золотые ворота выделено четыре основных сообщества интерстициальной фауны. Первое ("А") образовано инфузориями *Coleps tesselatus* Kahl, *Histiobalantium marinum* Kahl, *Pleuronema coronatum* Kahl, гарпактицидой *Harpacticus fuscum* Sars, моллюском *Bittium reticulatum* (Per.) и бескишечными турбелляриями. Второе сообщество ("Б") состоит в основном из двух видов инфузорий - *Tracheloraphis phoenicopterus* Cohn и *Trachelostyla caudata* Kahl. Третье ("В") состоит из таких доминантов: инфузорий *T. phoenicopterus*, *C. tesselatus*, *H. marinum*, *Remanella margaritifera* Kahl и нематоды рода *Oncholaimus*. Наконец, четвертое сообщество ("Г") составляют инфузории *T. phoenicopte-*

*rus*, *Tracheloraphis incaudatus* Kahl, *Tracheloraphis dogieli* Rajkov, *C.tesselatus*, бескишечные турбеллярии, нематоды *Oncholaimus*, науплии и копеподиты гарпактицид.

Продукция турбеллярий и моллюсков нами не рассчитывалась из-за недостатка литературных данных.

В табл. I для указанных выше сообществ приведены значения плотности, биомассы и продукции. Видно, что в песках верхней сублиторали изученного района доминирует мейофауна. Ее биомасса в сообществе "A" в 123 раза больше таковой у микробентоса (инфузории), в "B" - в 4 раза, в "Г" - в 142. Это связано прежде всего с гранулометрическим составом осадка, т.к. известно, что инфузории предпочитают пески, в которых преобладают частицы размером 0,2-0,4 мм, а мейофауна - 0,3-0,5 мм / 5,14 /. Инфузории, обладая удельной продукцией (С) на порядок выше, чем мейобентос, дают при столь малой плотности и биомассе от 4,3% ("Г") и 5,4% ("A") до 66,7% ("B") общей продукции смешанных сообществ. И.В.Бурковский / 3 / показал, что на песках первого типа (0,2-0,4 мм) доля инфузорий в продукции интерстициали может составлять 15% при их вкладе в биомассу - 0,05%. В нашем случае это отношение (15,00:0,05 = 300,00) колеблется от 3,32 ("B") до 6,75 ("A"). Исключение составляет сообщество "Б", представленное только инфузориями.

Наиболее активно вторичная продукция идет в сообществе "Г" - 0,835 мкг/час/см<sup>2</sup>. Здесь встречено наибольшее разнообразие видов, их плотность и биомасса. Средние величины продукции консументов (по всем сообществам) составляют 0,320 мкг/час/см<sup>2</sup>.

В табл. 2 приведены данные о вторичной продукции экспериментального сообщества инфузорий, полученные расчетным и ра-

Таблица I. Состав и продукция основных сообществ интерстициальной фауны

Сообщество	Состав	Плотность		Биомасса (B)		Число длений в сутки	Удельная продукция (C)	Продукция (P=C/24·B)	
		экз./ см <sup>2</sup>	%	мкг/см <sup>2</sup>	%			мкг/час/с см <sup>2</sup>	%
"A"	<i>Coleps tesselatus</i>	5	50,0	0,0545	0,3	2,36	I,652	0,004	2,7
	<i>Histiobalantium marinum</i> Jung.	1	10,0	0,0581	0,4	I,67	I,169	0,003	2,0
	<i>Pleuronema coronatum</i>	2	20,0	0,0177	0,1	2,47	I,725	0,001	0,7
	<i>Harpacticus ruscum</i> ?	2	20,0	16,0270	99,2	-	0,210	0,140	94,6
	Всего:	10	100,0	16,1580	100,0	-	-	0,148	100,0
"B"	<i>Tracheloraphis phoenicopterus</i>	14	82,4	3,1353	87,6	I,81	I,267	0,116	87,4
	<i>Trachelostyla caudata</i> J. Jung.	3	17,6	0,4447	12,4	I,91	I,269	0,020	12,6
	Всего:	17	100,0	3,5800	100,0	-	-	0,136	100,0
	<i>Tracheloraphis phoenicopterus</i>	5	33,3	I,1198	17,8	I,81	I,267	0,059	57,8
"B"	<i>Coleps tesselatus</i>	2	13,3	0,0218	0,3	2,36	I,652	0,002	2,0
	<i>Histiobalantium marinum</i> J. Jung.	2	13,3	0,1162	1,8	I,67	I,169	0,006	5,9
	<i>Reinouella marginifera</i>	1	6,7	0,0125	0,2	2,30	I,610	0,001	1,0
	<i>Oncholaimus sp. - немат</i>	5	33,3	0,0237	79,8	-	0,165	0,034	33,3
	Всего:	15	100,0	6,2940	100,0	-	-	0,102	100,0
	<i>Tracheloraphis phoenicopterus</i>	2	7,7	0,4479	0,5	I,81	I,267	0,024	2,9
"Г"	<i>Tr. incaudatus</i>	1	3,9	0,0772	0,1	I,61	I,127	0,004	0,5
	<i>Tr. dogieli</i> J. Jung.	1	3,9	0,1036	0,1	2,07	I,449	0,006	0,7
	<i>Coleps tesselatus</i>	3	11,5	0,0327	0,0	2,36	I,652	0,002	0,2
	<i>Oncholaimus sp. - немат</i>	4	15,4	4,0190	4,2	-	0,165	0,028	3,3
	<i>Copepodita</i> Harpacticoida	II	42,3	88,1510	92,9	-	0,210	0,771	92,3
	Nauplii	4	15,4	2,0656	2,3	-	-	-	-
	Всего:	26	100,0	94,8970	100,0	-	-	0,835	100,0

Таблица 2. Вторичная продукция экспериментального сообщества интерстициальных инфузорий

Параметры / виды	<i>Histiobalantium marinum</i>	<i>Strombidium sulcatum</i>	Всего
Плотность, экз./20 мл	1040	3300	4340
Биомасса, мкг/20 мл	60,57	45,75	106,32
Число делений в сутки	1,54	2,14	-
Продукция, мкг/особь/сут.	0,063	0,021	-
Активность включенного $^{14}\text{C}$ , БК/особь	$0,060 \pm 0,002$	$0,097 \pm 0,003$	-
$\text{I}^{12}\text{C}/\text{I}^{14}\text{C}$ , мкг С/БК	0,0052	0,0052	0,0052
Усвоение, мкг С/особь/сут.	$3,11 \cdot 10^{-4} \pm 0,09 \cdot 10^{-4}$	$5,03 \cdot 10^{-4} \pm 0,15 \cdot 10^{-4}$	-
Активность $^{14}\text{CO}_2$ , БК/особь	$0,033 \pm 0,001$	$0,033 \pm 0,001$	$0,033 \pm 0,001$
Траты на дыхание, мкг С/особь/сут.	-	-	$6,78 \cdot 10^{-4} \pm 0,20 \cdot 10^{-4}$
Доля трат на дыха- ние, %	-	-	68,5
Доля усвоенной пищи, %	-	-	31,5

диоуглеродным способом. Результаты по скорости дыхания усреднены. Это не позволяет строго говорить оолях усвоенной и затраченной на респирацию органики для каждого из видов. В данном случае нас больше интересовали значения прироста (чистой продукции) для сравнения их с результатами расчетного метода. Эксперимент показал, что *S. sulcatum*, объем особей которого в 4,18 раза меньше, чем у *H. marinum*, продуцирует в 1,60 раза быстрее. Далее, в среднем для обоих видов более двух третих усвоенного вещества идет на дыхание, и лишь 31,5% образуют живую массу. Тут следует отметить, что изученные виды принадлежат к быстро передвигающимся формам. Расчетный метод показал, что удельная продукция (C) *S. sulcatum* в 1,39 раза больше, чем у *H. marinum*, то есть, налицо довольно близкое сходство с соответствующим результатом радиоуглеродных измерений (1,60). Это позволяет судить о достоверности расчетов вторичной продукции, приведенных в табл. I.

Общая скорость аккумуляции  $\text{CO}_2$  микрофитобентосом составила 10 мкгС/час/ $\text{cm}^2$ . Интересно, что контрольные измерения на той же глубине (7-9 м) у мыса Фиолент (150 км по прямой от Кара-дага) дали такой же результат. На долю микроводорослей, которые, по данным Н.Бодяну / 2 /, в песках верхней сублиторали Черного моря на 98,9% по биомассе представлены диатомовыми водорослями, приходится в среднем 7,2% первичной продукции интерстициали (150 мкг "сырой" массы/час/ $\text{cm}^2$ ). Остальную же часть (92,8%) образуют фототрофные бактерии.

Таким образом, вторичная продукция ( $0,320 \text{ мкг/час}/\text{cm}^2$ ) в 468 раз меньше скорости первичного синтеза одних только микроводорослей. Если учесть продукцию фотобактерий, взвешенное

и растворенное аллохтонное органическое вещество, то можно считать изученную интерстициаль полноценной экологической системой.

Для анализа пространственной конфигурации системы исследовался характер размещения организмов, а также их сопряженность в пространстве биотопа.

Первая задача решалась согласно методики Романовского-Смуррова / 10 / в приложении к метровому и дециметровому масштабам распределения организмов. На замкнутой поляне ( $50 \text{ м}^2$ ) было взято 50 проб с квадратов площадью  $1 \text{ м}^2$ , 25 проб - с  $2 \text{ м}^2$ , 12 - с  $4 \text{ м}^2$ , 6 - с  $8 \text{ м}^2$  и 3 - с  $16 \text{ м}^2$ . Для каждой выборки рассчитывали дисперсию и средние. Графики зависимости коэффициента дисперсии от средней не строились, а лишь сравнивались тангенсы углов их наклона к оси абсцисс для различных выборок. По общей численности интерстициальных консументов получили соответственно:  $\operatorname{tg} \alpha_1 = 0,42$ ;  $\operatorname{tg} \alpha_2 = 0,39$ ;  $\operatorname{tg} \alpha_3 = 0,45$ ;  $\operatorname{tg} \alpha_4 = 0,40$ ;  $\operatorname{tg} \alpha_5 = 0,25$ . Заметное искривление графика на интервале проб  $8-16 \text{ м}^2$  ( $\operatorname{tg} \alpha_4 - \operatorname{tg} \alpha_5$ ) свидетельствует о переходе к более высокому порядку агрегатов организмов, однако их площадь не может быть больше  $50 \text{ м}^2$ . В случае полигона  $0,25 \text{ м}^2$  (дециметровый масштаб) проводились аналогичные расчеты, показавшие наличие скоплений организмов в интервале  $25 - 2500 \text{ см}^2$ .

В табл. 3,4 показаны значения коэффициента Грэй-Смита ( $\sigma^2/\bar{m}$  или  $s^2/\bar{x}$  для выборочных данных), средней плотности ( $\bar{m}$ ,  $\bar{x}$ ), плотности в скоплениях ( $m^*, x^*$ ) и на фоне ( $m^o$ ,  $x^o$ ) со стандартными ошибками, коэффициенты агрегированности ( $K_A$ ) и установленные эмпирически площади отдельных скоплений ( $S_i$ ) доминирующих интерстициальных организмов на полигонах 50 и

Таблица 3. Горизонтальное распределение интерстициальной фауны (метровый масштаб)

Параметры Виды	$\bar{m}$	$\sigma^2$ (экз./см <sup>2</sup> )	$\sigma^2/\bar{m}$	$m_3$	$m \pm S.E. [m^2]$ (экз./см <sup>2</sup> )	$m \pm S.E. [m^2]$ (экз./см <sup>2</sup> )	$K_A$	$\sum_i s_i$ (м <sup>2</sup> )	$s_i$ (м <sup>2</sup> )
<i>Tracheloraphis incaudatus</i>	0,6I	I,53	2,52	4,49	2,36±0,46	0,08±0,05	0,77	II,27	-
<i>Tr. phoenicopterus</i>	2,37	I4,32	6,04	I42,83	I2,33±I,53	I,I7±0,16	0,89	5,39	I,8
<i>Tr. dogieli</i>	0,86	2,25	2,62	6,54	2,95±0,50	0,00	0,7I	I4,2I	-
<i>Tracheloraphis sp.</i>	0,3I	0,93	2,98	3,97	2,45±0,65	0,II±0,05	0,92	4,I7	2,I
<i>Trachelostyla caudata</i>	0,20	0,46	2,29	I,27	I,52±0,49	0,00	0,87	6,37	I,3
<i>Strombidium sulcatum</i>	0,33	2,35	7,12	I9,20	6,58±I,80	0,00	0,95	2,45	I,2
<i>Frontonia sp.</i>	0,3I	0,59	I,9I	I,20	0,94±0,22	0,00	0,67	I6,I7	-
<i>Pleuronema coronatum</i>	0,3I	0,76	2,45	I,9I	I,32±0,30	0,00	0,77	II,52	-
<i>Ramaneia margaritifera</i>	0,14	0,39	2,78	I,22	I,5I±0,43	0,00	0,89	4,90	I,0
<i>Histiobalantium marinum</i>	0,26	0,57	2,2I	I,I6	0,76±0,I7	0,00	0,66	I6,66	-
<i>Coleps tesselatus</i>	2,90	I4,39	4,96	7I,35	8,08±0,74	0,68±0,I4	0,70	I4,70	-
<i>Prorodon sp.</i>	0,39	I,53	3,93	7,27	3,76±0,92	0,06±0,04	0,90	4,90	2,4
<i>Turbellaria</i>	I,49	5,I3	3,44	28,38	6,59±I,05	0,00	0,77	II,27	-
<i>Oncholaimus sp.</i>	3,I8	20,88	6,57	I05,50	9,00±0,73	0,14±0,07	0,66	I6,66	-
<i>Copepodita</i>	I0,55	I22,68	II,63	2200,00	32,40±I,90	5,4I±0,37	0,8I	9,3I	2,4
<i>Nauplius</i>	3,76	I9,I9	5,II	I48,04	II,98±I,15	I,88±0,22	0,9I	4,4I	0,74

Таблица 4. Горизонтальное распределение интерстициальной фауны (декиметровый масштаб)

Параметры Виды	$\bar{X}$	$S^2$	$\bar{X}/S^2$	$\hat{\mu}_3$	$x^* \pm S.E.[x^*]$	$x^o \pm S.E.[x^o]$	$K_A$	$\sum_i s_i$ ( $cm^2$ )	$s_i$ ( $cm^2$ )
	(экз./ $cm^2$ )	(экз./ $cm^2$ )			(экз./ $cm^2$ )	(экз./ $cm^2$ )			
<i>Tracheloraphis phoenicopterus</i>	5,3	154,01	29,06	4088,12	34,8+4,9	0,26+0,17	0,85	375,0	375,0
<i>Remanella margaritifera</i>	1,3	6,01	4,62	29,00	4,9+1,3	0,00	0,73	675,0	675,0
<i>Coleps tesselatus</i>	2,2	18,40	8,40	124,06	9,1+0,6	0,00	0,76	600,0	600,0
<i>Histiobalanus marinum</i>	2,2	15,30	6,95	93,94	8,3+0,6	0,07+0,37	0,74	650,0	650,0
<i>Prorodon</i> sp.	0,4	0,17	0,43	-	-	-	-	-	-
<i>Tracheloraphis incavatus</i>	0,1	0,01	0,10	-	-	-	-	-	-
<i>Tr. dogielii</i>	0,1	0,01	0,10	-	-	-	-	-	-
<i>Tracheloraphis</i> sp.	0,1	0,01	0,10	-	-	-	-	-	-
<i>Remanella rugosa</i>	0,3	0,14	0,45	-	-	-	-	-	-
<i>Trachelostyla caudata</i>	0,2	0,04	0,18	-	-	-	-	-	-
<i>Pleuronema coronatum</i>	0,3	0,27	0,90	-	-	-	-	-	-
<i>Frontonia</i> sp.	0,1	0,01	0,10	-	-	-	-	-	-
<i>Oncholaimus</i> sp.	4,9	35,21	7,19	311,81	15,0+2,6	1,90+0,36	0,77	575,0	575,0
<i>Turbellaria</i>	0,3	0,07	0,23	-	-	-	-	-	-
<i>Copepodita</i>	0,4	0,37	0,93	-	-	-	-	-	-
Общая численность:	17,0	958,89	56,41	61791,20	92,2+8,0	4,46+0,78	0,86	357,5	357,5

? 28.06.2013 ЧУ

0,25 м<sup>2</sup>, соответственно. Видно, что большинство видов, как в метровом, так и дециметровом масштабах, распределены агрегированно ( $\sigma/\bar{x}$  или  $s^2/\bar{x}$  больше I). Только на участке 0,25 м<sup>2</sup> (табл.4) организмы с очень малой плотностью размещены регулярно ( $s^2/\bar{x}$  меньше I). Это мы связываем с наличием регулярно расположенной раби песка. На этом полигоне было зафиксировано только одно скопление организмов. Причем интересно, что частные размеры агрегатов отдельных видов, входящих в это скопление, больше площади, рассчитанной по их общей численности (357,5 см<sup>2</sup>). По-видимому, это площадь зоны наиболее активного перекрывания пространственных ниш этих организмов.

Аналогичный анализ распределения макрозообентоса (моллюски), детрита и отдельных размерных фракций песка в верхнем сантиметровом слое установил их случайное распределение. Таким образом, пространственные характеристики этих параметров не коррелируют с таковыми для микро- и мейофауны – основного биотического компонента изученной системы.

На рис.2 показано вертикальное распределение основных параметров. Видно, что доминирующие инфузории сосредоточены у поверхности песка, тогда как моллюски и бактерии – по всей толще. Характер окислительно-восстановительного профиля свидетельствует о достаточной аэрированности всего слоя песка / 14 /. Это связано с его крупнозернистостью и высокой динамикой воды в данном районе. Обращает на себя внимание также положительная корреляция содержания детрита и плотности бактерий.

На рис.3 показана динамика гранулометрического состава песка и доминирующих компонентов зообиоты при трех последователь-

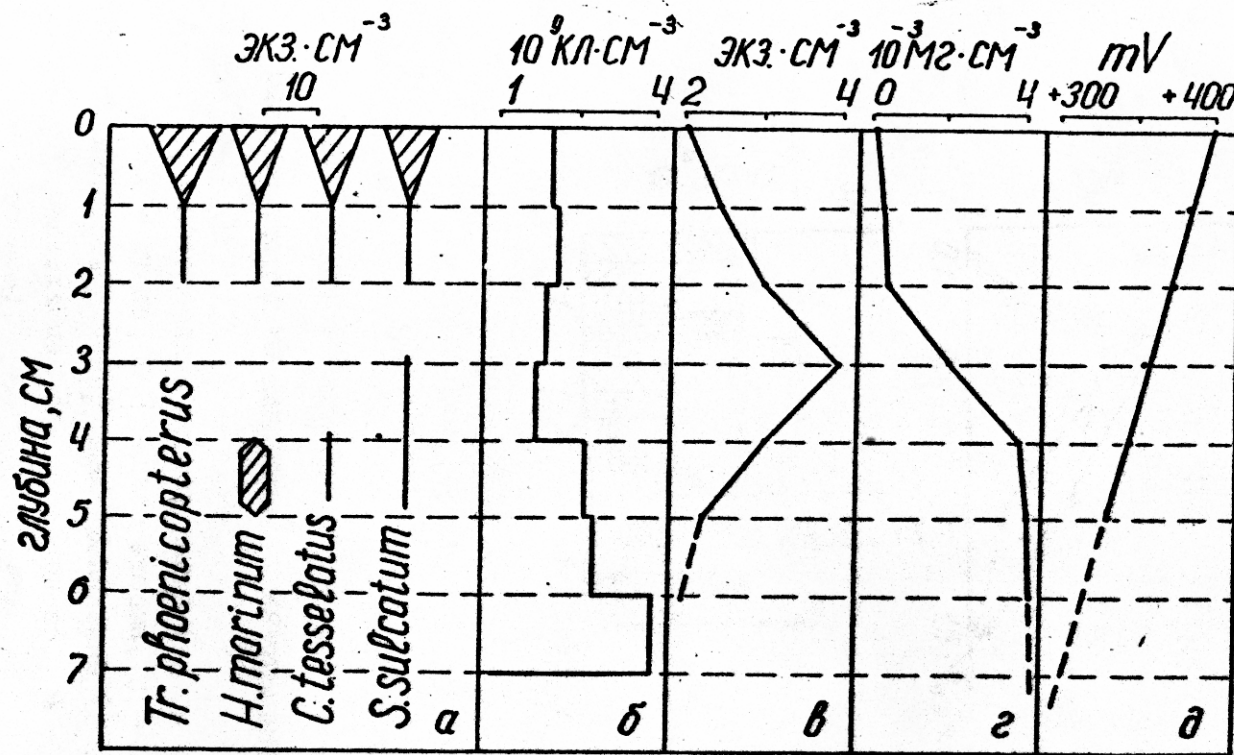


Рис. 2

Вертикальное распределение инфузорий (А), бактерий (Б), моллюска *V. reticulatum* (В), детрита (Г) и окислительно-восстановительного потенциала (Д).

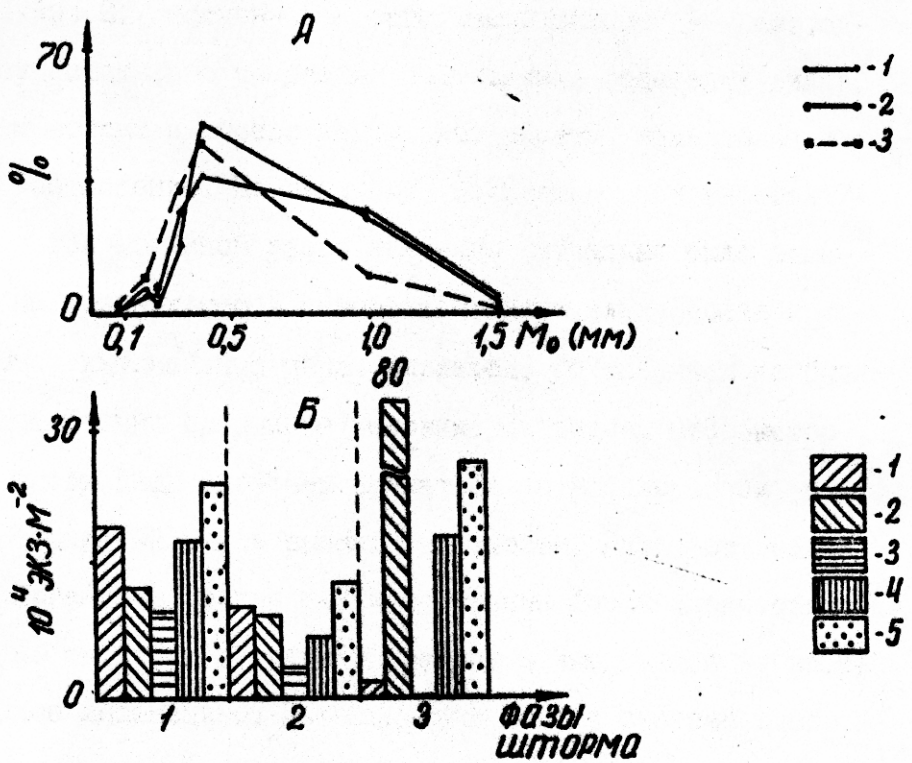


Рис. 3

Влияние шторма на некоторые параметры интерстициали (слой 0 – I см):

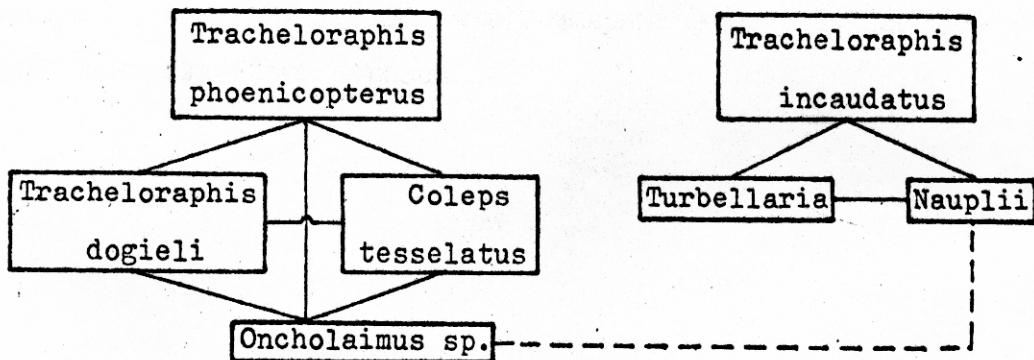
- А – гранулометрический состав песка (здесь и по оси абсцисс в "Б": 1 – штиль, 2 – начало шторма, 3 – шторм 3–5 баллов);
- Б – численность доминирующих организмов (1 – *T.phaenicopterus*, 2 – *C.tesselatus*, 3 – *Prorodon* sp., 4 – *Oncholaimus* sp., 5 – *H.fuscum*).

льных состояниях волновой активности. В начале шторма, когда из песка начинает вымываться дестрит, но сам субстрат неподвижен (состояние 2), численность организмов заметно убывает, однако без существенного изменения соотношения отдельных видов. С усилением шторма и образованием ряби заметно изменяется именно их соотношение. По-видимому, появление ряби высотой 7-8 см и является причиной этого явления. Визуально было отмечено, что на гребнях песок становится значительно более крупнозернистым и интенсивнее перемешивается. Во впадинах же были отмечены достаточно спокойные условия. Очевидно, что быстро передвигающиеся виды способны смещаться во впадины ряби, образуя там скопления очень высокой плотности. Наоборот, мало-подвижные организмы, также как и сесильные формы (некоторые нематоды) не способны к таким миграциям и вымываются из песка гораздо более интенсивно. По окончании шторма система возвращалась в исходное состояние через 2-3 суток. Это позволяет говорить о динамической устойчивости интерстициали к такому экстремальному внешнему фактору, как штормовая динамика воды.

Пространственная структура изучалась в метровом масштабе по тотальному сбору материала на "поляне" 50 м<sup>2</sup>. Использовался метод анализа главных компонент, позволяющий выделить группировки параметров, максимально скоррелированные между собой и минимально - с параметрами других группировок / I /. Основные сообщества организмов схематично показаны на рис.4.

### Выводы

I. Изученная интерстициаль является в продукционном отношении полноценной экологической системой, обладающей динами-



Р и с. 4

Пространственная структура интерстициальной фауны (метровый масштаб).

ческой устойчивостью к воздействию шторма.

2. В составе фауны изученной интерстициальной экологической системы как в плотностном, так и в продукционном отношениях доминируют мейобентосные организмы, что связано с крупнозернистостью песков.

3. Пространственная конфигурация данной экосистемы имеет преимущественно локальный характер, хотя фоновые виды размещаются в соответствии с рябью песка регулярно (декиметровый масштаб), а детрит и отдельные размерные фракции песка распределены случайным образом.

## Литература

1. Афиши А., Эйзен С. Статистический анализ. Подход с использованием ЭВМ.- М.: Мир, 1982.- 488 с.
2. Бодяну Н. Микрофитобентос.- В кн.: Основы биологической продуктивности Черного моря. Киев: Наукова думка, 1979.- 392с.
3. Бурковский И.В. Структура, динамика и продукция сообщества морских псаммофильных инфузорий.- Зоол. журн., 1978, т. 57, вып.3, с. 325-337.
4. Бурковский И.В., Эпштейн В.С., Молибога Н.Н. Пищевая специализация и трофическая структура сообщества морских псаммофильных инфузорий. - Зоол. журн., 1980, т.59, вып.3, с.325-334.
5. Воробьева Л.В. Об интерстициальной фауне песчаных пляжей.- Гидробиол. журн., 1977, № 2, с.65-67.
6. Гулин М.Б., Поликарпов И.Г., Гулин С.Б. Количественное распределение доминирующих псаммофильных инфузорий в песчаной сублиторали Черного моря.- Гидробиол. журн., 1983, № 1, с. 31-36.
7. Заика В.Е. Сравнительная продуктивность гидробионтов.- Киев: Наукова думка, 1983.- 208 с.
8. Заславский Е.М. Методическое руководство по анализу органического вещества донных отложений.- М.: ДНИРО, 1980.- 62с.
9. Поликарпов Г.Г. Экологические основы охраны гидросферы от антропогенного воздействия. - Гидробиол. журн., 1980, № 17, вып. 66, с.3-10.
10. Смурров А.В. Статистические методы в исследовании пространственного размещения организмов.- В кн.: Методы почвен-

но-зоол. исследований. М.: Наука, 1975, с.217-240.

II. Сорокин Ю.И. О применении радиоактивного углерода для изучения питания и пищевых связей водных животных.- В кн.: Планктон и бентос внутренних водоемов. М.-Л.: Наука, 1966, с. 75-119.

12. Численко Л.Л. Номограммы для определения веса водных организмов по размерам и форме тела.- Л.: Наука, 1968.- 106 с.

13. Fauré-Fremiet E. Ecologie des ciliés psammophiles littoraux.- Bull. biol. France et Belg., 1950, 34, N 1, p.35-75.

14. Fenchel T. The ecology of marine microbenthos, IV. - Ophelia, 1964, 6, p. 1-182.

15. Lacase J.-C., Villedone de Naide O. Measure de la production primaire du microphytobenthos par la méthode du carbone-14, application aux recherches écotoxicologiques.-J. Rech. Oceanogr., 1977, 2, p.21-27.

16. McLachlan A., Erasmus T., Dye A.H. et al. Sand beach energetics: an ecosystem approach towards a high energy interface.- Estuar., Coast., Shelf Sci., 1981, 13, p.11-25.

17. Pamatmat M.M. Ecology and metabolism of a benthic community on a intertidal sand flat.- Int. Revue des Hydrobiol., 1968, 53, N 3, p. 211-258.

18. Uhlig G. Eine einfache Metode zur Extractum der Vagilen mesopsammalem Microfauna.- Heigol. Wissenschaft. Meersunters, 11, 1964, p. 178-185.

19. Wasmund N. Probleme der  $^{14}\text{C}$  - Methode.- Meeresbiologische Beiträge aus der Sektion Biologie, 1982, 10, N 6, p. 37-42.

Печатается в соответствии с решением Редколлегии  
"Гидробиологического журнала" от II ноября 1985 г.

В печать /3. V. &6

Тир. /

Цена 2-20

зак. 32792

Производственно-издательский комбинат ВНИТИ  
Люберцы, Октябрьский пр., 403